

Cs_x

cp

B90 - 1632 - X | 1956

C₂S₂

Percep. Mayaco

C₂S₃

Fehér f, Wduszko L.

C₂S₄

Z. Anordnung und allgem

C₂S₅

Chem., 1956, 283, N°-6, 49-84

C₂S₆

XIII сес. септ. XXXVI. Сессія-

1956 року - сесія 11 зе-
мель - сесія.

X-56-18-54415

G2S [89-IX-2990] 1940

(CH_3) Bousquet Y,
Diot M.,
Bull. Soc. Chim.
France 1940, 112, 4302

$\text{Cs}_2\text{S}(\text{K}, \text{aq})$ Kunia y Espejelaud 1974

Mills R.C.

m. gen.
cb-la

Thermodyn. Data for Thio-
nic Sulphides, Selenides and
Tellurides. Part III. London;
Butterworths, 1974

Q. 243

1977

Cs₂S

Документ
19 Б475. Кристаллическая структура Cs_2S и некоторые замечания о Cs_2Se , Cs_2Te , Rb_2Se и Rb_2Te . Sommertag H., Hoppe R. Die Kristallstruktur von Cs_2S [1] mit einer Bemerkung über Cs_2Se , Cs_2Te , Rb_2Se und Rb_2Te . «Z. anorg. und allg. Chem.», 1977, 429, № 2, 118—130 (нем., рез. англ.)

Кристаллическая структура

X. 1977
n 19

Синтезированы (взаимодействием элементов в вакууме 10^{-4} мм при т-ре 300—330°) и рентгенографически изучены (методы порошка, вращения, прецессии, Вейсенберга и дифрактометра, λ Cu и Mo, 202 отражения, МНК, изотропное приближение, $R=10,4\%$) кристаллы Cs_2S (I). Параметры ромбич. решетки: a 8,55, b 5,39, c 10,04 Å, ρ (изм.) 4,19, ρ (выч.) 4,12, $Z=4$, ф. гр. $Pnma$. Атомы S в структуре I образуют почти идеальную гексагон. плотнейшую упаковку, половина тетраэдрич. и все октаэдрич. пустоты к-кой заселены атомами Cs ($Cs-S$ в тетраэдрах 3,38—3,41 Å, в октаэдрах 3,57—3,95). Атомы Cs существенно смещены из центров октаэдрич. пустот в направлении оси c (на 0,78 Å от идеального положения в центре). Осуществлен подсчет со-

ставляющей Маделунга в общей энергии решетки для случая структуры I, а также для возможного варианта того же состава со структурой типа анти- CaF_2 , характерной для Rb_2S , показавший гораздо большую энергетич. предпочтительность найденной для I структуры. Эффективное коорд. ч. атомов Cs в октаэдрах структуры I равно 8,06, в тетраэдрах — 5,27. Параллельно осуществлен синтез (способом, аналогичным для I) и рентгенографич. исследование (метод порошка) соединений Rb_2Se , для к-рого установлен структурный тип анти- CaF_2 и параметр кубич. решетки: a 8,01 Å; ρ (изм.) 3,16, ρ (выч.) 3,21, $Z=8$; и Cs_2Se , кристаллизующегося в структурном типе I с параметрами решетки: a 8,79, b 5,55, c 10,78 Å, ρ (изм.) 4,33, ρ (выч.) 4,35. Продолжаются пока безуспешные попытки синтеза соединений Rb_2Te и Cs_2Te . Приведены значения $\sin^2\Theta$, I , hkl рентгенограмм порошка I. Cs_2Se и Rb_2Se . С. В. Соболева

1949

Cs₂S₂

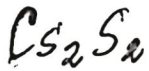
13 Б337. О синтезе и структуре Cs_2S_2 . Böttcher P.
 Zur Synthese und Struktur von Cs_2S_2 . «J. Less—Common Metals», 1979, 63, № 1, 99—103 (нем.; рез. англ.)

При т-ре 300—400° и давл. 2—3 кбар из смеси Cs и S в жидк. NH_3 получены кристаллы Cs_2S_2 и проведено их рентгеноструктурное исследование (дифрактометр, λMo , 186 отражений, анизотропное уточнение, $R=0,041$). Ромбич., a 6,992, b 9,615, c 5,232 Å, $Z=2$; ф. гр. $Imm\bar{m}$. Структура Cs_2S_2 — типа Rb_2O_2 , т. е. деформированная в направлении [010] антифлюоритная структура CaF_2 с полianiонами X_2^{2-} в позициях Ca (см. рис.). Гантелеобразные ионы S_2^{2-} располагаются в направлении [100] (S—S 2,107 Å). Каждый анион S_2^{2-} окружен по вершинам деформированного куба 8 ионами Ca^{2+} . Расстояния $Cs—Cs$ 4,207, 4,417 и 5,411 Å. Каждый ион Cs^{2+} окружен по вершинам тригон. призмы 6 атомами S. Упаковка структурных единиц достаточно рыхлая. Т. Л. Хоцянова

*Синтез
и структ.*

2.1949, № 3

1979



(Kfuer.)

92: 13939n Synthesis and structure of cesium sulfide (Cs_2S_2). Boettcher, P. (Inst. Anorg. Chem., Rheinisch-Westfael Tech. Hochsch., Aachen, Fed. Rep. Ger.). *J. Less-Common Met.* 1979, 63(1), 99-103 (Ger). Cs_2S_2 was obtained as transparent yellow needles by ammonio thermal synthesis at $\sim 300^\circ$ and 2-3 atm. The substance is orthorhombic, space group $I\bar{n}mm$, with $a = 6.932(2)$, $b = 9.615(2)$, and $c = 5.232(2)$ Å. The structure was refined to a final $R = 0.056$. The structure consists of S_2^{2-} -polyanions where the S-S-distance is 2.107 (3) Å.

(γ_{s-s})

C.A.1980.G2.N2

C_2S

Comptes Rendus 8773

1979

Richter J., Vreuls W.

Ber. Bunsenges Phys. Chem.,
83, 1025-26, 1979.

$\delta_{298} = 155,5 \text{ g.l.}$
observed.

Xankoreeugh G

1983

DfH, 8,
04/04/83

199: 111682n Heat capacity and thermodynamic properties of alkali metal compounds. III. Estimation of the thermodynamic properties of cesium and rubidium chalcogenides. Kohli, Rajiv (Nucl. Technol. Sect., Battelle Columbus Lab., Columbus, OH 43201 USA). *Thermochim. Acta* 1983, 66(1-3), 361-4 (Eng). Methods for estg. std. heats of formation and entropies of Cs and Rb chalcogenides are discussed.

Rb Xankoreeugh Rb

C.A. 1983, 99, N 14

$\text{Cs}_2\text{S}_5 \cdot \text{H}_2\text{O}$

1985

21 Б2022. Синтез и кристаллическая структура $\text{Cs}_2\text{S}_5 \cdot \text{H}_2\text{O}$. Darstellung und Kristallstruktur des $\text{Cs}_2\text{S}_5 \cdot \text{H}_2\text{O}$. Böttcher P., Grampe G. «Z. Naturforsch.», 1985, B40, № 3, 321—325 (нем.; рез. англ.)

Осуществлен синтез (взаимодействием в водн. р-ре Cs_2S и S при т-ре -15°C), термич. и рентгенографич. (λAg , при т-ре -72°C и при комн. R (0,032 для 3111 отражений)) исследования $\text{Cs}_2\text{S}_5 \cdot \text{H}_2\text{O}$ (I). Кристаллы трикл. при -72°C a 6,924, b 7,818, c 10,356 Å, α $108,62^\circ$, β $111,31^\circ$, γ $82,14^\circ$; при комн. т-ре a 6,974, b 7,870, c 10,413, α $108,72^\circ$, β $111,23^\circ$, γ $82,00^\circ$, ρ (изм.) 2,98, ρ (выч.) 2,957, Z 2, ф. гр. Р1. Атомы S в структуре образуют вытянутые вдоль оси c спиралевидные цепочки S_5^{2-} (S—S внутри цепей 2,048—3,330, между цепями 3,890, 3,933 Å), характерные для пентахалькогенидов M_2X_5 . Атомы Cs находятся в 10-кратной координации из 8—9 атомов S и 1—2 молекул H_2O (Cs—S 3,538—3,840, Cs—O 3,148—3,524 Å). Структура укреплена системой Н-связей типа O—H...S (3,230—3,787 Å). Приведены значения I , 20, hkl рентгенограммы порошка I.

С. В. Соболева

Система и
кристал-
структур

X. 1985, 19, № 21

C₂S'

[Oct. 30007]

1988

Ohashi H.,

(1fH)

Thermochim. acta,
1988, 130, 115-119.

Cs_2S 1990
Schewe - Miller
Irngard.

Chezerec,
Leipzig, Chem. Fak. Univ.
cb - ba Stuttgart, 1990.
223 c.
(cees. Na_2S ; I)

L3 f2

1991

115: 40281s Magnetic phase transitions in α -cerium disulfide.
Klimenko, A. G.; Ishikaev, S. M.; Tagaev, A. B.; Vasil'eva, I. G.;
Karpenko, M. M.; Fischer, P.; Furrer, A.; Staub, U. (Inst. Inorg.
Chem., 630090 Novosibirsk, USSR). *J. Appl. Phys.* 1991, 69(8, Pt.
2A), 4630-2 (Eng). Phys. properties of platelike single crystals (size
up to $3 \times 0.2 \times 2$ mm³, *b*-axis perpendicular to the plate) of α -CeS₂
(monoclinic, space group $P2_1/c$) were studied. Magnetic ordering is
found below 7 K. Sp. heat $C_p(T)$ has a λ -type anomaly at $T_N = 6.7$
K with entropy $S_m = 0.94 R \ln 2$ and an addnl. max. at 6.0 K (S_m
 $\sim 0.02 R \ln 2$). Crystal-field splitting of the $^2F_{5/2}$ state of Ce³⁺ into 3
doublets with energy levels 0, 230, and 415 cm⁻¹ is obtained from
 $C_p(T)$. The paramagnetic susceptibility obeys a Curie-Weiss law
with anisotropic effective magnetic moment and Curie-Weiss temp.:
 $P = 2.1 \mu\text{B}$; $\theta = +7.8$ K for *b*-axis and $P = 1.5 \mu\text{B}$; $\theta = -0.8$ K in
directions perpendicular to the *b*-axis. Complicated magnetic
behavior is obsd. in low fields (0.1-100 Oe) below T_N (strong
dependence of dc susceptibility on thermomagnetic prehistory,
cooling rate and applied field, remanent and memory phenomena).
Magnetization curves at 4.2 K show a sharp metamagnetic transition
at $H_c = 5$ kOe for a field along the *b*-axis and linear dependence
 $M(H)$ up to 30 kOe for the perpendicular direction.

(P)

C.A. 1991, 115, NY